

توسعه و ارزیابی تخمین تابش موج کوتاه فرومدی در سطح بر اساس عمق اپتیکی هواویز SARA و داده‌های سنجنده مادیس در شرایط بدون ابر

اسلام جوادنیا^{*}، علی‌اکبر آبکار[†]

۱- دانشجوی دکتری سنجش از دور - دانشکده مهندسی نقشهبرداری - دانشگاه صنعتی خواجه نصیرالدین طوسی

۲- استادیار دانشکده مهندسی نقشهبرداری - دانشگاه صنعتی خواجه نصیرالدین طوسی

تاریخ دریافت مقاله: ۱۳۹۶/۰۹/۰۳ تاریخ پذیرش مقاله: ۱۳۹۵/۰۹/۰۹

چکیده

یکی از عوامل اصلی عدم قطعیت در تخمین تابش موج کوتاه در سطح، عمق اپتیکی هواویز موجود در جو می باشد. در این مقاله برای محاسبه تابش موج کوتاه از مدل پارامتری یانگ که هر یک از اجزای جو را بصورت جدگانه مدل می نماید، استفاده شد. در اکثر تحقیقات قبلی برای محاسبه تابش موج کوتاه در سطح، از داده‌های عمق اپتیکی هواویز سنجنده مادیس استفاده شده است، در حالی که در این تحقیق عمق اپتیکی برآورد شده از الگوریتم ساده شده بازیابی هواویز (SARA) (Simplified Aerosol Retrieval Algorithm) مورد استفاده قرار گرفت. روش پیشنهادی برآورد تابش موج کوتاه براساس داده عمق اپتیکی هواویز SARA و همچنین روش رایج تابش موج کوتاه به دست آمده براساس محصولات عمق اپتیکی مادیس، با داده‌های زمینی اندازه‌گیری شده در ایستگاه چیتگر شهر تهران و برای پریود زمانی تابستان ۲۰۱۳ اعتبار سنجی شدند. نتایج اعتبارسنجی برای تابش موج کوتاه برآورده شده براساس عمق اپتیکی هواویز SARA، ضربی رگرسیون ۸۸/۰ (R²)، خطای جزر میانگین مربعات و بایاس بترتیب ۲۵/۰۹ و ۲۰/۵ وات بر مترمربع، برای تابش موج کوتاه براساس داده سطح ۲ عمق اپتیکی هواویز مادیس، ضربی رگرسیون ۶۱/۰، خطای جزر میانگین مربعات و بایاس بترتیب ۴۱/۷۵ و ۱۵/۹۳ وات بر مترمربع و برای تابش موج-کوتاه براساس داده سطح ۳ عمق اپتیکی هواویز مادیس، ضربی رگرسیون ۰/۸۲، خطای جزر میانگین مربعات و بایاس بترتیب ۶۰/۷۳ و ۵۳/۷۷ وات بر مترمربع به دست آمدند. نتایج بیانگر دقت بالای تابش موج-کوتاه برآورده شده بر اساس عمق اپتیکی هواویز SARA نسبت به محصولات سطح ۲ و ۳ مادیس می باشد. بطوریکه خطای جزر میانگین مربعات بترتیب ۱/۶ و ۲ برابر نسبت به محصولات سطح ۲ و ۳ مادیس می باشد و خطای بایاس در روش پیشنهادی تقریباً به صفر رسیده است. با فرض توزیع مکانی مناسب ایستگاههای آئرونوت (AERONET)، روش پیشنهاد شده ترکیب مدل تابشی یانگ و الگوریتم برآورده عمق اپتیکی هواویز SARA، می تواند تابش موج کوتاه را از مقیاس منطقه‌ای به جهانی، نیز برآورد نماید.

کلیدواژه‌ها: تابش فرومدی موج کوتاه در سطح، عمق اپتیکی هواویز، مادیس

۱- مقدمه

مخصوصاً مادیس می‌توانند مناسب‌تر باشند، زیرا سنجنده مادیس می‌تواند به تنها‌ی داده‌های مرتبط با جو و ویژگیهای سطح زمین را فراهم نماید و از طرفی خطای ناشی از به کارگیری داده‌ها از سنسورهای مختلف را نیز کاهش می‌دهد. محصولات سنجنده مادیس دارای قدرت تفکیک زمانی یک روز و قدرت تفکیک مکانی های مختلف از قبیل ۲۵۰ متر، ۵۰۰ متر و ۱ کیلومتر می‌باشد که برای به تصویر کشیدن ویژگیهای زمین از مقیاس منطقه‌ای به جهانی، مناسب هستند [۱۶]. الگوریتم‌های بسیاری مبتنی بر این محصولات، برای برآورد تابش موج کوتاه طراحی و توسعه یافته‌اند، به‌طوری‌که دیگر نیازی به محاسبات سنگین از قبیل محاسبات پیچیده و سنگین مدل‌های انتقال تابشی نیست [۱۴ و ۱۷].

مطالعات قبلی نشان داده است که دقت نقشه‌های تابش موج کوتاه هنوز در بسیاری موارد رضایت‌بخش نیست [۱۸ و ۱۹]. تحقیقات نشان می‌دهد که بخش بزرگی از این عدم قطعیت، در الگوریتم‌های برآورد تابش موج کوتاه در شرایط بدون ابر، مرتبط با داده‌های غیردقیق عمق اپتیکی هواییز^۶ (AOD) می‌باشد [۱ و ۱۹]. امروزه بسیاری از محققین از داده‌های اقلیمی هواییز برای محاسبه تابش موج کوتاه بهره می‌برند. این داده‌های اقلیمی قدرت تفکیک مکانی و زمانی پایینی دارند (۱ درجه و ماهیانه) و ممکن است برای کاربردهای در مقیاس ۱ تا ۱۰ کیلومتر مناسب نباشند [۱۵]. در حال حاضر نیاز به بررسی و مطالعه دقیق اثر هواییزها بر روی تابش خورشیدی در شرایط آسمان صاف (بارگذاری کم هواییز^۷) و شرایط تیرگی جو (بارگذاری زیاد هواییز^۸) با استفاده از داده‌های ماهواره‌ای، هرچه بیشتر احساس می‌شود، زیرا این داده‌ها با اطلاعات مکانی-زمانی مناسب از

مجموع تابش خورشیدی رسیده به سطح زمین در محدوده ۳۰۰ تا ۳۰۰۰ نانومتر، تابش فروودی موج کوتاه در سطح^۱ (DSSR) نامیده می‌شود و از دو مؤلفه مستقیم^۲ و پراکنده^۳ تشکیل شده است. تابش فروودی به سطح زمین، نقش اساسی در توازن انرژی بین جو و سطوح زمین-اکیانوس دارد. در مدلسازی و برنامه‌ریزی در زمینه‌های مختلف، از جمله کشاورزی، جنگلداری، اقیانوس‌شناسی، هواشناسی و اقلیم، اندازه‌گیری مکانی و زمانی تابش مورد نیاز است [۱]. تخمین دقیق تابش موج کوتاه برای کاربردهای مختلف از قبیل هواشناسی کشاورزی، پیش‌بینی آب و هوا و پایش اقلیم، بسیار ضروری است و همچنین یک متغیر مهم در بسیاری از مدل‌های عددی برای تخمین پارامترهای مانند، رطوبت خاک، تبخیر و تعرق و فتوسترات می‌باشد [۲ و ۳]. علاوه بر این، برآورد تابش خورشیدی، اهمیت زیادی در مکان‌بایی سیستم‌های گرمایش خورشیدی در کاربردهای انرژی خورشیدی دارد [۴ و ۵].

اندازه‌گیری تابش در ایستگاههای زمینی، محدود به یک مکان خاصی است، درحالیکه داده‌های ماهواره‌ای سنجش از دوری می‌تواند اطلاعات در مقیاس‌های محلی تا جهانی را در اختیار کاربران قرار دهد [۶]. بنابراین مدل‌های بسیاری برای تخمین تابش موج کوتاه از طریق داده‌های سنجش از دوری به‌ویژه از داده‌های سنجنده مادیس^۴ (MODIS) مستقر بر ماهواره‌های تراویک و همچنین سنجنده‌های مستقر بر ماهواره‌های زمین‌آهنگ، طراحی و توسعه داده شده‌اند [۲، ۷، ۸، ۹، ۱۰، ۱۱، ۱۲، ۱۳، ۱۴ و ۱۵]. مدل‌های پهنه‌باند^۵ میزان جذب، پراکنش و بازتاب انرژی توسط جو را محاسبه می‌کنند و برای سنسورهای چند طیفی

^۱ Downward Surface Shortwave Radiation^۲ Direct^۳ Diffuse^۴ MODerate resolution Imaging Spectrometer^۵ Broadband⁶ Aerosol Optical Depth⁷ Low aerosol loading⁸ High aerosol loading

بالا، تخمین های تابش موج کوتاه را با استفاده از این محصولات تحت تأثیر قرار می دهد و برآورد دقیق تابش موج کوتاه با قدرت تفکیک مکانی ۱ کیلومتر را در شرایط بارگذاری کم و زیاد هواویز بخصوص در زمان طوفانهای گرد و خاکی، با مشکل مواجه می کند. بنابراین، برای تخمین دقیق تابش موج کوتاه در شرایط آسمان صاف و تیره، استفاده از داده های با قدرت تفکیک مکانی و زمانی بالا، ضروری به نظر می رسد. بلال و همکاران [۲۳] به تازگی الگوریتم ساده شده بازیابی هواویز (SARA^۸) را با استفاده از داده های رادیانس بالای جو و بازتابندگی سطح توسعه داده اند. این الگوریتم قادر به بازیابی AOD با قدرت تفکیک مکانی و زمانی بالا (۱ کیلومتر و روزانه) می باشد. بلال و همکاران الگوریتم SARA را در منطقه هنگ کنگ ارزیابی کرده اند و نشان دادند که این الگوریتم خصوصیات هواویزها را بهتر از محصول سطح دو مادیس بیان می کند [۲۳]. این الگوریتم در مقایسه با الگوریتم های پیشینی که در هنگ کنگ مورد مطالعه و بررسی قرار گرفته اند، کارآیی بهتری را در شرایط بارگذاری کم و زیاد هواویز، از خود نشان داد [۲۶، ۲۷]. علاوه بر این، الگوریتم SARA به دلیل اعمال بر تمامی پیکسل های بدون ابر، قادر به بازیابی، به مرتب تعداد پیکسل های بیشتری از AOD برای یک منطقه خاص است، در حالیکه الگوریتم DT به علت محدودیت هایی که در انتخاب پیکسل های تیره وجود دارد، به پیکسل های محدودی اعمال می گردد [۲۴]. مطالعاتی که اخیراً برای تخمین تابش موج کوتاه از داده های مادیس بهره برده اند، در جدول (۱) به اختصار آورده شده است. بیشتر^۹ و همکاران [۱۴] از مدل ارائه شده توسط زیلمان^{۱۰} و با استفاده از داده های دمای هوا و دمای نقطه شبنم به دست آمده از محصول

توزیع هواویزها، می توانند ویژگی های دقیقی از اثر تابشی آنها در اختیار کاربران قرار دهند.

الگوریتم های مختلفی به منظور برآورد عمق اپتیکی هواویز و محاسبه میزان بارگذاری گرد و خاک، با استفاده از تکنیک های سنجش دوری توسعه داده شده است. مادیس برای بیان عمق اپتیکی هواویز، محصول سطح دو هواویز مادیس^۱ (MODIS L2 AOD) و محصول سطح سه هواویز مادیس^۲ (MODIS L3 AOD) را ارائه کرده است. محصول سطح دو مادیس قدرت تفکیک مکانی ۱۰ کیلومتر دارد و خصوصیات هواویزها را با الگوریتم های هدف تیره^۳ (DT) [۲۰] و عمق آبی^۴ (DB) [۲۱] تشریح می نماید. الگوریتم DT AOD را برای سطوح رoshن، دست بالا^۵ و برای سطوح تیره، دست پایین^۶ برآورد می نماید. علاوه بر این، الگوریتم DT به دلیل محدودیت در معیارهای انتخاب، در شرایط تیرگی بالای جو، قادر به برآورد AOD نیست و در نتیجه، پیکسل های از دست رفته^۷ زیادی تولید می شوند که هیچ مقداری برای AOD ندارند [۲۳]. الگوریتم DB، بدلیل توانایی بالا در برآورد AOD برای سطوح رoshن، پیکسل های از دست رفته کمتری نسبت به الگوریتم DT دارد، با این وجود هنوز AOD برآورده شده، از دقت مناسبی برخوردار نیست و مقادیر AOD، بویژه در شرایط گرد و خاکی به میزان قابل توجهی دست پایین برآورد می شوند [۲۴]. محصول سطح سه عمق اپتیکی مادیس، مشکل از تجمع فضایی سطح دو مادیس به قدرت تفکیک مکانی ۱ درجه می باشد [۲۵]. محصول سطح سه مادیس پیکسل های از دست رفته کمتری دارد اما قدرت تفکیک مکانی پایین تری دارد. مشکلات ذکر شده در

¹ MODIS Level 2 AOD

² MODIS Level 2 AOD

³ Dark Target

⁴ Deep Blue

⁵ Overestimate

⁶ Underestimate

⁷ Missing pixels

⁸ Simplified Aerosol Retrieval Algorithm

⁹ Bisht

¹⁰ Zillman

در روش پیشنهاد شده در این تحقیق به جای استفاده از محصول عمق اپتیکی هواویز مادیس، از الگوریتم SARA که با استفاده از محصول رادیانس بالای جو و محصول بازتابندگی سطح زمین مادیس (MOD02، MOD09)، مقدار AOD را در محدوده طیفی ۵۵۰ نانومتر برآورد می‌نماید، بهره برده شد. عمق اپتیکی هواویز به دست آمده با الگوریتم SARA AOD، سپس برای محاسبه تابش موج کوتاه با نامیده می‌شود. سپس برای محاسبه تابش موج کوتاه با استفاده از مدل یانگ، از AOD SARA به عنوان ورودی عمق اپتیکی هواویز استفاده شد. به منظور مقایسه، محصول سطح دو و سه مادیس نیز برای محاسبه تابش موج کوتاه مورد استفاده قرار گرفتند. در نهایت تابش موج کوتاه‌های به دست آمده از این سه نوع داده مختلف AOD، توسط مشاهدات زمینی صورت گرفته در ایستگاه چیتگر، مورد ارزیابی قرار گرفتند.

هدف این تحقیق توسعه مدلی برای تخمین دقیق تابش موج کوتاه براساس AOD SARA و مقایسه آن با تابش موج کوتاه‌های به دست آمده از محصول سطح دو و سه AOD مادیس می‌باشد. به منظور دستیابی به این هدف، موارد زیر انجام گردید.

- تخمین تابش موج کوتاه با استفاده از مدل یانگ براساس SARA AOD MODIS L2
- تخمین تابش موج کوتاه با استفاده از مدل یانگ براساس MODIS L3 AOD و AOD
- ارزیابی تابش‌های به دست آمده براساس داده‌های مختلف AOD، با اندازه‌گیری‌های زمینی صورت گرفته توسط دستگاه پیرانومتر مستقر در ایستگاه چیتگر

۲- مواد و روش‌ها

در این بخش، ابتدا منطقه مورد مطالعه معرفی شده، سپس مشاهدات زمینی صورت گرفته برای DSSR و AOD و زمان‌های اندازه‌گیری این داده‌ها بیان می‌شوند. قسمت بعدی این بخش به داده‌های ماهواره‌ای مورد استفاده در این تحقیق می‌پردازد و در نهایت در

پروفایل جو مادیس (MOD07)، تابش موج کوتاه را برای روزهای بدون ابر برآورد نمودند. ریو^۱ و همکاران [۲]، هوبورگ و سوگارد^۲ [۲۸] بترتیب با به کارگیری مدل‌های بیرد^۳ [۲۹] و اقبال [۳۰] و با استفاده از محصول سطح دو عمق اپتیکی هواویز (MOD04)، محصول بخار آب (MOD05) و محصول ازن (MOD07) سنجنده مادیس، تابش موج کوتاه در سطح را به دست آورند. هوانگ^۴ و همکاران با به کارگیری مدل توسعه یافته یانگ به مرأه محصول سطح دو و سه عمق اپتیکی هواویز (MOD04/MOD08)، محصول بخار آب (MOD05)، محصول ازن (MOD07)، تابش موج کوتاه را در شرایط بدون ابر برآورد نمودند. تمامی مطالعات از محصول زاویه زنیتی خورشید (MOD03) بهره برdenد.

یانگ و همکاران در سال ۲۰۰۱ [۳۱]، با ساده‌سازی مدل طیفی لکنر^۵ [۳۲] مدل انتقال تابشی پهن باندی را طراحی و توسعه دادند. نتیجه ارزیابی ۲۱ مدل توسط گیمارد^۶ [۳۳] و [۳۴] نشان داد که مدل یانگ یکی از بهترین مدل‌های پهن باند در مقایسه با مدل‌های انتقال تابشی برای محاسبه تابش موج کوتاه در شرایط بدون ابر است. پائولسیو و اسچلت^۷ [۳۵] و [۳۶] و مذکور [۳۷] نیز، کارآیی بالای این مدل را تأیید نموده‌اند. مطالعات اشاره شده در رابطه با ارزیابی مدل یانگ، عمدها از داده‌های دقیق نقطه‌ای به عنوان ورودی در مدل بهره می‌برند. در تحقیق حاضر نیز از این مدل برای محاسبه تابش موج کوتاه در شرایط بدون ابر استفاده شد ولی از داده‌های مختلف جو و زمین مادیس بعنوان ورودی استفاده گردید (جدول (۱)).

¹ Ryu

² Houborg & Soegaard

³ Bird

⁴ Huang

⁵ Leckner

⁶ Gueymard

⁷ Paulescu and Schlett

قسمت های بعدی، روش های استفاده شده، برای بازیابی AOD و DSSR تشریح می گردد.

جدول ۱: برآورد تابش موج کوتاه با استفاده از داده های مادیس در مطالعات پیشین و تحقیق حاضر

محصولات داده های مادیس	مدل	تحقیق
MOD03, MOD07	زیلمان (۱۹۷۲)	۲۰۰۵ بیشت و همکاران
MOD03, MOD04, MOD05, MOD07	اقبال (۱۹۸۳)	۲۰۰۴ هوبورگ و سوگارد
MOD03, MOD04, MOD05, MOD07	بیرد (۱۹۸۱)	۲۰۰۸ ریو و همکاران
MOD03, MOD04/MOD08, MOD05, MOD07	یانگ (۲۰۰۱)	۲۰۱۲ هوانگ و همکاران
MOD02, MOD03, MOD05, MOD07, MOD09	یانگ (۲۰۰۱)	تحقیق حاضر

نرم افزار آماری SPSS کنترل شده و داده های خارج از انحراف استاندارد به عنوان داده های پرت^۱ در نظر گرفته می شوند. اندازه گیری داده ها هر ۱۰ دقیقه ثبت می شوند، بنابراین نزدیکترین اندازه گیری ها به زمان های گذر ماهواره ترا به عنوان اندازه گیری زمینی مربوطه در نظر گرفته می شوند.
 آئرونوت شبکه ای مشکل از حدود بیش از ۷۰۰ سانفتومتر کالیبره شده زمینی در سراسر جهان است که خصوصیات اپتیکی هوایی ها را اندازه گیری می کنند [۳۹ و ۴۰]. سانفتومترها تابش مستقیم و پراکنده خورشیدی را در فواصل زمانی ۱۵ دقیقه و در طول موج های ۴۴۰، ۶۷۰، ۸۷۰ و ۱۰۲۰ نانومتر اندازه گیری می کنند و AOD در طول موج های مذبور با دقت بالا از طریق مجموعه ای از الگوریتم ها محاسبه می گردد [۴۰]. در این تحقیق داده های بدون ابر سطح ۱/۵ AOD، برای پریود زمانی ۱ ژوئن تا ۲۱ دسامبر سال ۲۰۱۳، از سایت آئرونوت IASBS مستقر در دانشگاه تحصیلات تکمیلی شهر زنجان (شکل ۱) و جدول (۲) به دست آمدند. داده های AOD به دست آمده در فواصل زمانی ± 30 دقیقه و در زمان های نزدیک به گذر ماهواره ترا، میانگین گیری شده و برای محاسبه آلبدوی پراکنش منفرد^۲ و فاکتور

۱-۲- منطقه مورد مطالعه و اندازه گیری های زمینی

سایت چیتگر در دامنه جنوبی رشته کوه های البرز در شمال غربی شهر تهران در پارک چیتگر واقع است (شکل ۱) و جدول (۲). تهران دارای یک آب و هوای خشک (طبقه بندی اقلیمی کوپن: BSK)، از نوع آب و هوای مدیترانه ای با تابستان های گرم است. آب و هوای تهران تا حد زیادی از طریق موقعیت جغرافیایی آن که توسط رشته کوه های بلند البرز از شمال و کویر مرکزی از جنوب احاطه شده است، تعريف می شود. به طور کلی می توان گفت تهران دارای آب و هوای معتدل در بهار و پاییز، گرم و خشک در تابستان و سرد و مرطوب در زمستان می باشد. بیشینه، کمینه و متوسط دمای سالانه بترتیب ۱۰، ۴۲/۶ و ۱۷/۷ درجه سانتیگراد می باشد [۳۸]. میانگین بارش سالانه ۲۳۳ میلیمتر است.

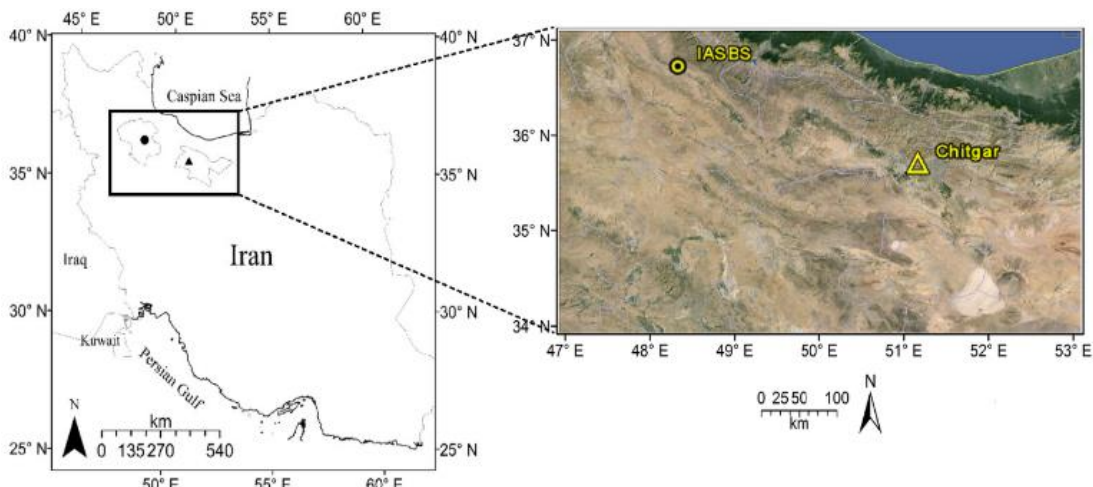
داده های سایت چیتگر از سازمان هواشناسی کشور اخذ گردید [۳۸]. تابش موج کوتاه در ارتفاع ۱/۵ متری سطح زمین، توسط دستگاه پیرانومتر مدل Kipp & Zonen CMP6 اندازه گیری می شود (جدول ۲). اندازه گیری ها در این سایت از سال ۲۰۱۲ تا ۲۱ انجام می شود، در این تحقیق از داده های ۱ ژوئن تا ۲۰۱۳ و برای روزهای بدون ابر استفاده شده است. کیفیت داده های جمع آوری شده توسط

¹ Outlier

² Single Scattering Albedo (SSA)

تقارن^۱ بر فراز سایتهاي چيتگر و IASBS، از طريق الگوريتم SARA مورد استفاده قرار گرفتند. زنجان داراي آب و هواي نيمه خشك سرد (طبقه‌بندی اقلیمی کوپن: BSK)، با تابستان‌هاي گرم و زمستان‌هاي سرد و مرطوب می‌باشد. بارش بسیار کم است و بیشتر بین ماه‌هاي اکتبر و می بارش اتفاق می‌فتند [۳۸]. میانگین دمای سالانه ۱۱ درجه سانتیگراد و میانگین بارش سالانه ۱۱۵ میلیمتر است.

^۱ Asymmetry factor



شکل ۱: سایت چیتگر (مثلث) و سایت آئرونوت (دایره)

IASBS

جدول ۲: مشخصات سایت تابشی چیتگر و سایت آئرونوت

نام سایت	طول جغرافیایی	عرض جغرافیایی	ارتفاع (متر)	دستگاه
چیتگر	۵۱/۲۰ درجه شرقی	۳۵/۷۶ درجه شمالی	۱۳۰.۵	CMP6 پیرانومتر مدل
IASBS	۴۸/۵۰ درجه شرقی	۳۶/۷۰ درجه شمالی	۱۸۰.۵	CIMEL سانفومتر مدل

ترا از مرکز هوایی گودارد^۲ و سیستم توزیع و بایگانی جوی^۳ [۴۲] ناسا برای پریود زمانی ۱ ژوئن تا ۲۱ دسامبر (۱۵۷) تا ۲۷۱ بر اساس روز جولین^۴ استخراج گردیدند. محصولات مختلف داده‌های مادیس و پارامترهای مورد استفاده، بهمراه قدرت تفکیک مکانی آن‌ها در جدول (۳) مشاهده می‌شود. روزهای مورد استفاده در این تحقیق بهمراه زمانهای گذر ماهواره در جدول (۴) آورده شده است. محصول سطح دو پروفایل جو MOD07، سطح دو عمق اپتیکی هواویز MOD04 و سطح سه عمق اپتیکی هواویز MOD08 به ترتیب قدرت تفکیک مکانی ۵، ۱۰ کیلومتر و ۱ درجه دارند. بنابراین هر سه به قدرت تفکیک مکانی ۱ کیلومتر نمونه برداری شدند.

علاوه بر این، داده‌های میدان دید^۱ نیز از ایستگاه هواشناسی مستقر در فرودگاه مهرآباد تهران اخذ گردید [۳۸]. فاصله بین ایستگاه چیتگر و ایستگاه مهرآباد ۱۳ کیلومتر می‌باشد. یک ناظر زمینی داده‌ها را هر ۳ ساعت اندازه‌گیری می‌کند. داده‌های میدان دید معمولاً در طول روز زیاد تغییر نمی‌کنند، بنابراین داده‌ها برای یک روز میانگین‌گیری می‌شوند. برای محاسبه AOD از داده‌های میدان دید از رابطه ارائه شده توسط ورموت و همکاران [۴۱] استفاده شد.

۲-۲- داده‌های سنجنده مادیس

محصول سطح یک، داده رادیانس بالای جو MOD02 و سطح یک موقعیت جغرافیایی MOD03، سطح دو عمق اپتیکی هواویز MOD04، سطح دو بخار آب MOD05 و سطح دو پروفایل جو MOD07، سطح سه عمق اپتیکی هواویز MOD08، سنجنده مادیس ماهواره

² Goddard Space Flight Center (GSFC)

³ Atmosphere Archive and Distribution System (LAADS)

⁴ Julian day

¹ Visibility

جدول ۳: محصولات داده‌های مادیس مورد استفاده در این تحقیق

محصول مادیس	نام اختصاری	قدرت تفکیک مکانی	پارامترهای مورد استفاده	مدل یا الگوریتم
رادیانس	MOD02	۱ کیلومتر	رادیاس بالای جو باند سبز	SARA
موقعیت جغرافیایی	MOD03	۱ کیلومتر	ارتفاع، زوایای زنیتی و آزیموتی	یانگ و SARA
عمق اپتیکی هواویز	MOD04	۱۰ کیلومتر	عمق اپتیکی هواویز در ۵۰۰ نانومتر	یانگ
بخار آب	MOD05	۱ کیلومتر	میزان بخار آب	یانگ
پروفایل جو	MOD07	۵ کیلومتر	میزان ازن	یانگ
شبکه بندی جو	MOD08	۱ درجه	عمق اپتیکی هواویز در ۵۰۰ نانومتر	یانگ
بازتابندگی سطح	MOD09	۱ کیلومتر	بازتابندگی سطح باند سبز	SARA
دماهی سطح زمین	MOD11	۱ کیلومتر	دماهی سطح	تعیین روزهای بدون ابر

جدول ۴: روزهای مورد مطالعه در این تحقیق و زمان‌های گذر ماهواره از منطقه

زمان گذر ماهواره (گرینویچ)	روز تقویمی (روز جولین)	زمان گذر ماهواره (گرینویچ)	روز تقویمی (روز جولین)
۱۰:۷	(۲۰۵) ۲۴ جولای	۱۰:۷	(۱۵۷) ۶ ژوئن
۷:۰۵	(۲۳۰) ۱۸ آگوست	۱۰:۷	(۱۷۳) ۲۲ ژوئن
۱۰:۷	(۲۳۷) ۲۵ آگوست	۷:۰۵	(۱۸۲) ۱ جولای
۷:۲۵	(۲۵۱) ۸ سپتامبر	۵۰:۷	(۱۸۳) ۲ جولای
۷:۳۰	(۲۵۸) ۱۵ سپتامبر	۷:۳۵	(۱۸۵) ۴ جولای
۷:۰۵	(۲۶۲) ۱۹ سپتامبر	۷:۲۵	(۱۸۷) ۶ جولای
۷:۳۵	(۲۶۵) ۲۲ سپتامبر	۷:۱۰	(۱۸۹) ۸ جولای
۷:۱۰	(۲۶۹) ۲۶ سپتامبر	۷:۳۰	(۱۹۴) ۱۳ جولای
۷:۰۰	(۲۷۱) ۲۸ سپتامبر	۷:۰۵	(۱۹۸) ۱۷ جولای
		۷:۲۵	(۲۰۳) ۲۲ جولای

تقارن در روز بازیابی و بر فراز یک منطقه وسیع
تغییر نمی‌کند [۲۳].

۳-۲- بازیابی AOD با استفاده از الگوریتم SARA (SARA AOD)

الگوریتم SARA (رابطه (۱)) بر اساس هندسه دید است و طیف وسیعی از شرایط و انواع هواویزها را در بر می‌گیرد [۲۳ و ۲۴]. این الگوریتم همچنین دارای سه فرض است: (۱) سطح لامرته است، (۲) تقریب پراکنش منفرد^۱ و (۳) آلبدوی پراکنش منفرد و فاکتور

^۱ single scattering approximation

رابطه (۱)

$$\tau_{a,\lambda} = \frac{4\mu_s\mu_v}{\omega_0 P_{a(\theta_s, \theta_v, \phi)}} \left[\rho_{TOA(\lambda, \theta_s, \theta_v, \phi)} - \rho_{Ray(\lambda, \theta_s, \theta_v, \phi)} - \frac{e^{-(\tau_R + \tau_{a,\lambda})/\mu_s} e^{-(\tau_R + \tau_{a,\lambda})/\mu_v} \rho_{s(\lambda, \theta_s, \theta_v, \phi)}}{1 - \rho_{s(\lambda, \theta_s, \theta_v, \phi)}(0.92\tau_R + (1-g)\tau_{a,\lambda}) \exp[-(\tau_R + \tau_{a,\lambda})]} \right]$$

$$\rho_{Ray(\lambda, \theta_s, \theta_v, \phi)} = \frac{\omega_0 \tau_R P_{R(\theta_s, \theta_v, \phi)}}{4\mu_s\mu_v} \quad \text{رابطه (۴)}$$

تابع فاز هواویز بیانگر توزیع زاویه‌ای نور پراکنش شده توسط ذرات است و با استفاده از روش single-term Henyey-Greenstein (رابطه (۵)) محاسبه می‌گردد

[۴۴]

$$P_{a(\theta_s, \theta_v, \phi)} = \frac{1-g^2}{[1+g^2-2g \cos(\pi-\Theta)]^{3/2}} \quad \text{رابطه (۵)}$$

که Θ زاویه فاز پراکنش^۲ [۴۵] و g فاکتور تقارن است که بیان کننده غلبه نسبی پراکنش پیشرو یا پسرو است و در بسیاری از مدل‌های هواویز مقدار این پارامتر ثابت می‌باشد [۴۶]. مقادیر روزانه ω_0 و g برای روزهایی که SARA AOD بازیابی می‌شود، از طریق تطبیق SARA AOD بر اساس تابعی از ω_0 و g و متوسط $\pm 30^\circ$ IASBS AOD به دست آمده از سایت آثرونوت^۳ و دقیقه پیرامون زمان گذر ماهواره ترا، تعیین می‌گردد. این عملیات بصورت تجربی و با استفاده از روش تکرار نقطه ثابت^۴ [۴۷] و با تغییر مقادیر ω_0 و g تا زمانیکه تطابق به دست آید، انجام می‌شود. سپس ω_0 و g ، بهمراه داده‌های بازتابندگی بالای جو و بازتابندگی سطح مادیس، توسط الگوریتم SARA به کار گرفته می‌شوند تا AOD با قدرت تفکیک مکانی ۱ کیلومتر در سایت چیتگر و مناطق اطراف آن برای لحظه گذر ماهواره ترا برآورد گردد. البته با فرض اینکه ω_0 و g بر فراز منطقه مورد مطالعه و در طول روز بازیابی، تغییری نمی‌کنند. به منظور حذف نویز نیز، SARA AOD به دست آمده در سایت چیتگر به مرکزیت سایت و با فیلتر ۳ در ۳، میانگین‌گیری می‌شود [۴۸]. جدول (۵) تمامی

که $\tau_{a,\lambda}$ عمق اپتیکی طیفی هواویز، τ_R عمق اپتیکی ریلی، ρ_{TOA} بازتابندگی بالای جو، ρ_s بازتابندگی سطح، P_a تابع فاز هواویز آلبودی پراکنش منفرد، g فاکتور تقارن، ω_0 کسینوس زاویه زنیتی خورشید، μ_v کسینوس زاویه زنیتی سنجنده، θ_s زاویه زنیتی خورشید، θ_v زاویه زنیتی سنجنده، ϕ زاویه آزیمoot نسبی و λ طول موج (در این الگوریتم $\lambda=550$ نانومتر، باند سبز مادیس) می‌باشد.

بازتابندگی بالای جو، تابعی از رادیانس بالای جو، زاویه زنیتی خورشید، فاصله زمین-خورشید در واحد نجومی و متوسط تابش خارج از جو^۱ خورشید است و از طریق رابطه (۲) تخمین زده می‌شود.

$$\rho_{TOA(\lambda)} = \frac{\pi L_{TOA(\lambda)} d^2}{ESUN_\lambda \mu_s} \quad \text{رابطه (۲)}$$

$L_{TOA(\lambda)}$ رادیانس طیفی دریافت شده توسط ماهواره بالای جو، $ESUN_\lambda$ متوسط تابش خارج از جو خورشید و d فاصله زمین-خورشید در واحد نجومی است.

عمق اپتیکی ریلی عمده‌ای وابسته به فشار محیط و ارتفاع زمین است و از طریق رابطه پیشنهاد شده توسط لی یانگ (رابطه (۳)) محاسبه می‌شود [۶].

$$\tau_R = \frac{P_z}{P_0} (0.00864 + 6.5 * 10^{-6} * z)^{(3.196 + 0.074\lambda + 0.05/\lambda)} \quad \text{رابطه (۳)}$$

P_z فشار محیط نسبت به ارتفاع بر حسب میلی‌بار، P_0 فشار در سطح متوسط دریا و برابر 10^{13} میلی‌بار است، z ارتفاع زمین از سطح دریا بر حسب کیلومتر و λ طول موج بر حسب میکرومتر می‌باشد.

بازتابندگی ریلی وابسته به تابع فاز ریلی P_R [۶ و ۴۳] و عمق اپتیکی ریلی است و از طریق رابطه (۴) به دست می‌آید.

¹ exoatmospheric² Scattering phase angle³ Forward and back scattering⁴ Fixed Point Iteration (FPI)

متغیرهای کلیدی به کار رفته در الگوریتم SARA و نحوه دستیابی به آنها را نشان می‌دهد.

جدول ۵: متغیرهای کلیدی در الگوریتم SARA

به دست آمده از:	پارامتر	عبارت
محصول موقعیت جغرافیائی مادیس (MOD03)	زاویه زنتی خورشید، زاویه زنتی سنجنده، زاویه آزیموت نسبی و ارتفاع	$\phi \theta_v \theta_s$ و z
θ_v و θ_s	کسینوس زاویه زنتی خورشید و کسینوس زاویه زنتی سنجنده	μ_v و μ_s
مقادیر ارائه شده توسط لی یانگ [۶]	متوسط تابش خارج از جو خورشید	$ESUN_\lambda$
رابطه ارائه شده در [۳۰] و روز جولین	فاصله زمین-خورشید در واحد نجومی	d
z	فشار محیط نسبت به ارتفاع بر حسب میلی‌بار	P_z
d و محصول رادیانس بالای جو مادیس (MOD02)	بازتابندگی بالای جو (باند سبز)	ρ_{TOA}
محصول بازتابندگی سطح مادیس (MOD09)	بازتابندگی سطح زمین (باند سبز)	ρ_s
P_z و z	عمق اپتیکی ریلی	τ_R
τ_R	تابع فاز ریلی	P_R
μ_v و μ_s D_R π_R	بازتابندگی ریلی	ρ_{Ray}
ایستگاه آئرونوت	آلبدوی پراکنش منفرد و فاکتور تقارن	g و ω_o
$\phi \theta_v \theta_s$	زاویه فاز پراکنش	Θ
Θ و g	تابع فاز هوایز	P_a
g و ω_o P_a π_R φ_{Ray} φ_s φ_{TOA} μ_v μ_s	عمق اپتیکی هوایز	τ_a

۲-۵- بازیابی تابش موج کوتاه با استفاده از مدل یانگ

تابش موج کوتاه بر حسب گذردهی کل^۱ با رابطه (۷) بیان می‌شود.

$$DSSR = E_0 \mu_s \tau / d^2 \quad \text{رابطه (۷)}$$

که E_0 تابش فرویدی بالای جو در واحد نجومی یک، است.

ضریب گذردهی کل با استفاده از مدل یانگ و بهمراه محصولات زمینی و جو مادیس محاسبه می‌شود. ضریب گذردهی تابش مستقیم ($\tau_{b,clear}$)، ضریب

۴-۲- بازیابی AOD با استفاده از اندازه‌گیری‌های میدان دید (Visibility AOD)

داده‌های میدان دید ثبت شده در سایت فرودگاه مهرآباد با استفاده از رابطه ارائه شده توسط ورموت و همکاران [۴۱] (رابطه (۶)) به AOD تبدیل می‌گردد.

$$V = 3.9449 / (AOD_{550} - 0.08498) \quad \text{رابطه (۶)}$$

که V میدان دید بر حسب کیلومتر، AOD_{550} عمق اپتیکی هوایز در طول موج ۵۵۰ نانومتر است. این رابطه برای $0.08498 \leq AOD \leq 0.108498$ معتبر نیست. روزانه برآورد شده با این روش در سایت مهرآباد با MODIS L3 AOD، MODIS L2 AOD، SARA AOD مقایسه می‌شود.

^۱ Total transmittance

مختلف^۲، زاویه زنیتی خورشید، ستونی کلی ازن^۳ بر حسب سانتیمتر، بخار آب قابل بارش^۴ و ضریب تیرگی آنگستروم^۵ می باشد. ضریب تیرگی آنگستروم در طول موج ۰/۵ میکرون با درنظر گرفتن مقدار ثابت ۱/۳ برای نمای آنگستروم^۶، به صورت زیر تعیین می گردد.

$$\beta = 0.5^{1.3} \text{AOD}(0.5) \quad (18)$$

که (AOD(0.5)، عمق اپتیکی هوازی در طول موج ۰/۵ میکرون می باشد. جدول (۶) تمامی متغیرهای کلیدی به کار رفته در مدل یانگ و نحوه دستیابی به آنها را نشان می دهد.

محصول دمای سطح زمین مادیس^۷ (LST)، تنها برای پیکسل های بدون ابر مقدار دارد، بنابراین در این تحقیق پیکسل هایی که محصول دمای سطح زمین مادیس، برای آن مقدار دارد، به عنوان شاخص شرایط بدون ابر مورد استفاده قرار می گیرد [۱۴]. برای پیکسل های بدون ابر، بهمراه AOD SARA و اطلاعات هندسی به دست آمده از مادیس به عنوان داده های ورودی الگوریتم یانگ جهت برآورد تابش موج کوتاه در سایت چیتگر مورد استفاده قرار گرفت. تابش به دست آمده از این روش، تابش موج کوتاه (SARA-based DSSR) SARA AOD نامیده می شود.

گذردهی تابش پراکنده ($\tau_{d,clear}$) و ضریب گذردهی کل (τ_{clear}) در شرایط آسمان بدون ابر بصورت زیر بیان می گردد.

$$\tau_{b,clear} = \tau_{oz}\tau_w\tau_g\tau_r\tau_a - 0.013 \quad (8)$$

$$\tau_{d,clear} = 0.5[\tau_{oz}\tau_g\tau_w(1 - \tau_r\tau_a) + 0.013] \quad (9)$$

$$\tau_{clear} = \tau_{b,clear} + \tau_{d,clear} \quad (10)$$

که $\tau_{oz}, \tau_w, \tau_g, \tau_r, \tau_a$ و τ_{clear} بترتیب گذردهی جذب ازن، گذردهی جذب بخار آب، گذردهی گازهای مخلوط، گذردهی پراکنش ریلی و گذردهی ناشی از جذب و پراکنش هوازی می باشد و به صورت روابط زیر (رابطه های ۱۱، ۱۲، ۱۳، ۱۴، ۱۵، ۱۶، ۱۷ و ۱۸) بیان می گردد.

$$\tau_{oz} = \exp[-0.0365(ml)^{0.7136}] \quad (11)$$

$$\tau_w = \min[1.0, 0.909 - 0.036 \ln(mw)] \quad (12)$$

$$\tau_g = \exp(-0.0117 m_c^{0.3139}) \quad (13)$$

$$\tau_r = \exp[-0.00873517 m_c(0.547 + 0.014m_c - 0.00038 m_c^2 + 4.6 \times 10^{-6} m_c^3)^{-4.08}] \quad (14)$$

$$\tau_a = \exp\{-m\beta[0.6777 + 0.1464(m\beta) - 0.00626(m\beta)^2]^{-1.3}\} \quad (15)$$

$$m = (\cos \theta + 0.15(\theta + 3.885)^{-1.253})^{-1} \quad (16)$$

$$m_c = mp/p_0 \quad (17)$$

که m و p فشار، m_c توده اپتیکی جو^۸، θ و w بترتیب فشار، توده اپتیکی جو، توده اپتیکی جو اصلاح شده برای فشارهای

² Pressure-corrected optical air mass

³ Total Ozone Column

⁴ Perceptible water content

⁵ Angstrom turbidity coefficient

⁶ Angstrom exponent

⁷ Land Surface Temperature

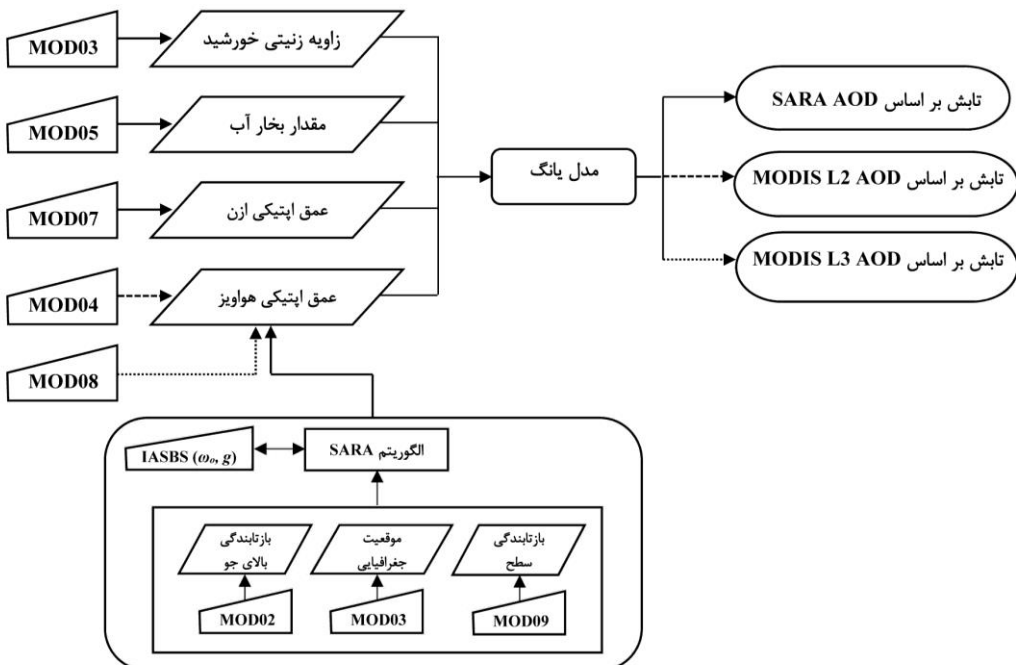
¹ Optical air mass

جدول ۶: متغیرهای کلیدی در مدل یانگ

عبارت	پارامتر	به دست آمده از
θ و z	زاویه زنیتی خورشید و ارتفاع	محصول موقعیت جغرافیائی مادیس (MOD03)
μ_s	کسینوس زاویه زنیتی خورشید	θ
P	فشار هوا	z
m	توده اپتیکی جو	θ
m_c	توده اپتیکی جو اصلاح شده برای فشارهای مختلف	P و m
E_0	تابش فروندی بالای جو در واحد نجومی یک	مقادیر ارائه شده توسط لی یانگ [۶]
τ_{oz}	گذردهی جذب ازن	m و داده ستون کلی ازن مادیس (MOD07)
τ_w	گذردهی جذب بخار آب	m و داده میزان بخار آب مادیس (MOD05)
τ_g	گذردهی گازهای محلوت	m_c
τ_r	گذردهی پراکنش ریلی	m_c
β	ضریب تیرگی آنگستروم	داده عمق اپتیکی هواییز مادیس (MOD04) یا داده عمق اپتیکی هواییز مادیس (MOD08) یا عمق اپتیکی هواییز به دست آمده از الگوریتم (SARA AOD) SARA
τ_a	گذردهی ناشی از جذب و پراکنش هواییز	β و m
$\tau_{b,clear}$	ضریب گذردهی تابش مستقیم	τ_a و τ_r τ_g τ_w τ_{oz}
$\tau_{d,clear}$	ضریب گذردهی تابش پراکنده	τ_a و τ_r τ_g τ_w τ_{oz}
τ_{clear}	ضریب گذردهی کل	$\tau_{d,clear}$ و $\tau_{b,clear}$
DSSR	تابش موج کوتاه فروندی در سطح	τ_{clear} و μ_s E_0

based DSSR)، نامیده می‌شود. تابش‌های به دست آمده از هر کدام از داده‌های مختلف عمق اپتیکی، برای یک پنجره فضایی ۳ در ۳ کیلومتر به مرکزیت سایت چیتگر و در زمان‌های گذر ماهاواره ترا میانگین گیری می‌شوند. شکل (۲) دیاگرام تخمین تابش موج کوتاه با استفاده از داده‌های مختلف عمق اپتیکی و سایر اطلاعات جوی و هندسی را به اختصار نمایش می‌دهد.

به منظور مقایسه، MODIS L3 و MODIS L2 AOD به نیز پس از نمونه برداری به قدرت تفکیک مکانی ۱ کیلومتر، به مراتب سایر اطلاعات جوی و هندسی جهت برآورد تابش موج کوتاه مورد استفاده قرار گرفتند. تابش‌های به دست آمده از این داده‌ها نیز به ترتیب تابش موج کوتاه براساس محصول سطح دو مادیس (MODIS L2-based DSSR) و تابش موج کوتاه (MODIS L3-based DSSR) براساس محصول سطح سه مادیس- MODIS L3.



شکل ۲: دیاگرام تخمین تابش موج کوتاه بر اساس SARA AOD و MODIS L2 AOD (MOD04)، SARA AOD و MODIS L3 AOD (MOD08) و اطلاعات دیگر جوی و هندسی. بخش مشخص شده با سایه، بازیابی AOD با استفاده از الگوریتم SARA را نشان می‌دهد، بطوریکه w و g بترتیب بیانگر آبدوی پراکنش منفرد و پارامتر تقارن هستند.

۳- نتایج و ارزیابی

۱-۳- مقایسه AOD های برآورد شده در سایت مهرآباد

شکل ۳-الف، ب و ج مقایسه SARA AOD، MODIS L3 AOD و L2 AOD به دست آمده براساس داده های میدان دید (Visibility) در روزهای مورد مطالعه در سایت مهرآباد تهران، نشان می‌دهد. AOD های به دست آمده از الگوریتم SARA AOD، SARA (با متوسط مقدار 0.18) انطباق بسیار خوبی با AOD به دست آمده براساس داده های میدان دید (با مقدار متوسط 0.23) دارند، در حالیکه محصول MODIS L2 AOD، (با مقدار متوسط 0.28) مقادیر عمق اپتیکی را تحت شرایط بارگذاری زیاد هواویز، نسبتاً دست بالا برآورد می‌نماید و محصول MODIS L3 AOD، (با مقدار متوسط 0.41) تحت هردو شرایط بارگذاری زیاد و کم، دست بالا

برای اعتبارسنجی تابش های برآورده در سایت چیتگر نیز از متغیرهای آماری زیر (رابطه های ۲۰، ۱۹ و ۲۱) استفاده گردید.

رابطه (۱۹)

$$R^2 = \frac{\sum_{i=1}^n (E_i - \bar{E})(O_i - \bar{O})}{\sum_{i=1}^n (E_i - \bar{E})^2 \sum_{i=1}^n (O_i - \bar{O})^2}$$

$$\text{RMSE} = \left[\frac{1}{n} \sum_{i=1}^n (E_i - O_i)^2 \right]^{1/2} \quad (20)$$

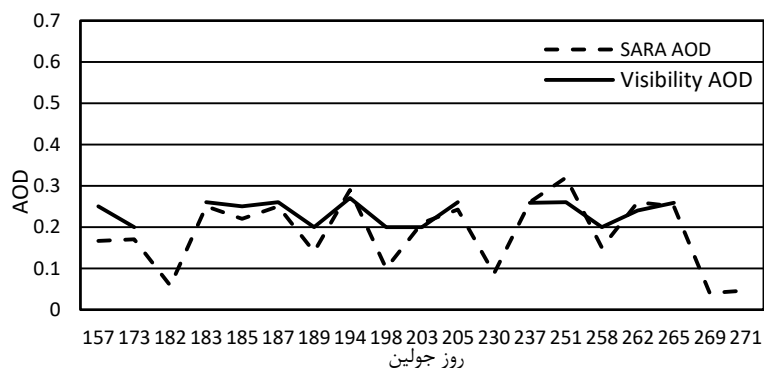
$$\text{Bias} = \frac{1}{n} \sum_{i=1}^n (E_i - O_i) \quad (21)$$

که R^2 ، RMSE^۱ و Bias بترتیب ضریب همبستگی، خطای جذر میانگین مربعات و بایاس می‌باشند [۱۷]. E و O، تابش تخمین و اندازه‌گیری شده و \bar{E} و \bar{O} نیز میانگین تابش تخمین و اندازه‌گیری شده است.

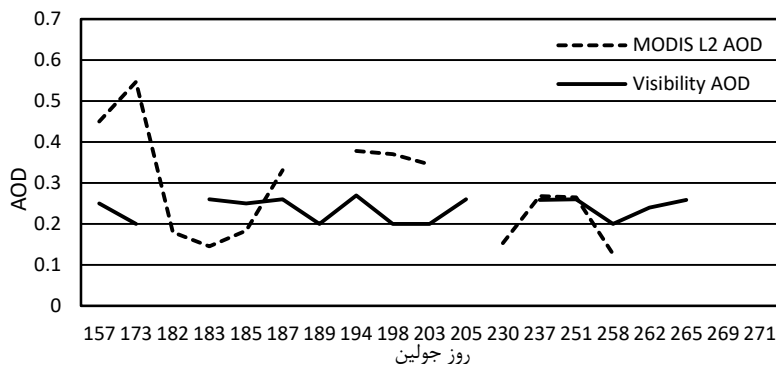
^۱ Root Mean Square Error

در حالیکه برای مناطق روشن [۲۲] و شرایط بارگذاری بالای هوایی [۲۴]، مقادیر AOD را دست بالا برآورد می‌نماید. میانگین ۹ پیکسل با اعمال پنجره فضایی ۳ در ۳ کیلومتر بر فراز سایت چیتگر نشان می‌دهد که منطقه مورد مطالعاتی دربرگیرنده سطوح روشن است (AOD_{p_{2.21\mu m}}=0.25). لذا مقادیر AOD در الگوریتم محصولات مادیس، بالاتر از حد واقعی برآورد می‌گردند. الگوریتم SARA در هنکنگ و بیجینگ اعتبارسنجی شده است [۲۳ و ۲۴] و نتایج نشان‌دهنده دقต بالای این الگوریتم در مقایسه با الگوریتم DT در شرایط بارگذاری بالا و پایین هوایی بود، به طوری که آن نصف الگوریتم DT گزارش شده است.

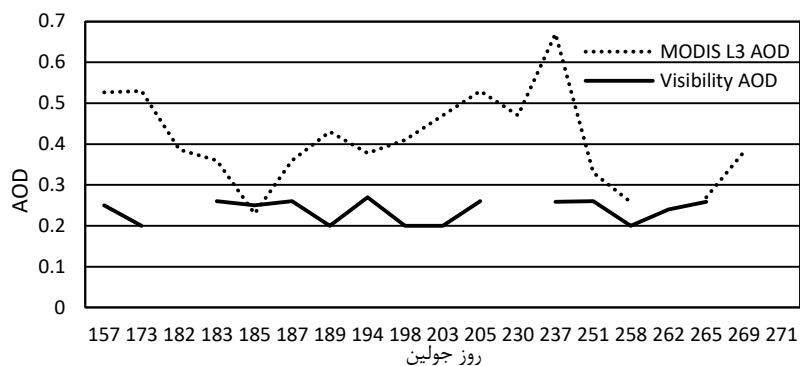
برآورد می‌نماید. در مقایسه با الگوریتم بازیابی عمق اپتیکی هوایی محصولات مادیس، الگوریتم SARA جزئیات بیشتری از داده‌های جوی و زمینی را بکار می‌برد، بنابراین SARA AOD دقیق‌تر است نسبت به این محصولات دارد. بازتابندگی سطح و بالای جو مادیس با قدرت تفکیک‌مکانی ۱ کیلومتر به همراه داده‌های آلبدوی پراکنش منفرد و پارامتر تقارن، به دست آمده از داده‌های سایت آئرونوت واقع در شهر زنجان، از جمله داده‌های مورد نیاز در الگوریتم SARA هستند. محصولات Madiis، با استفاده از الگوریتم DT بازیابی می‌شوند. این الگوریتم در مناطق با پوشش گیاهی مترادف از دقیق‌ترین برخوردار است



(الف)



(ب)

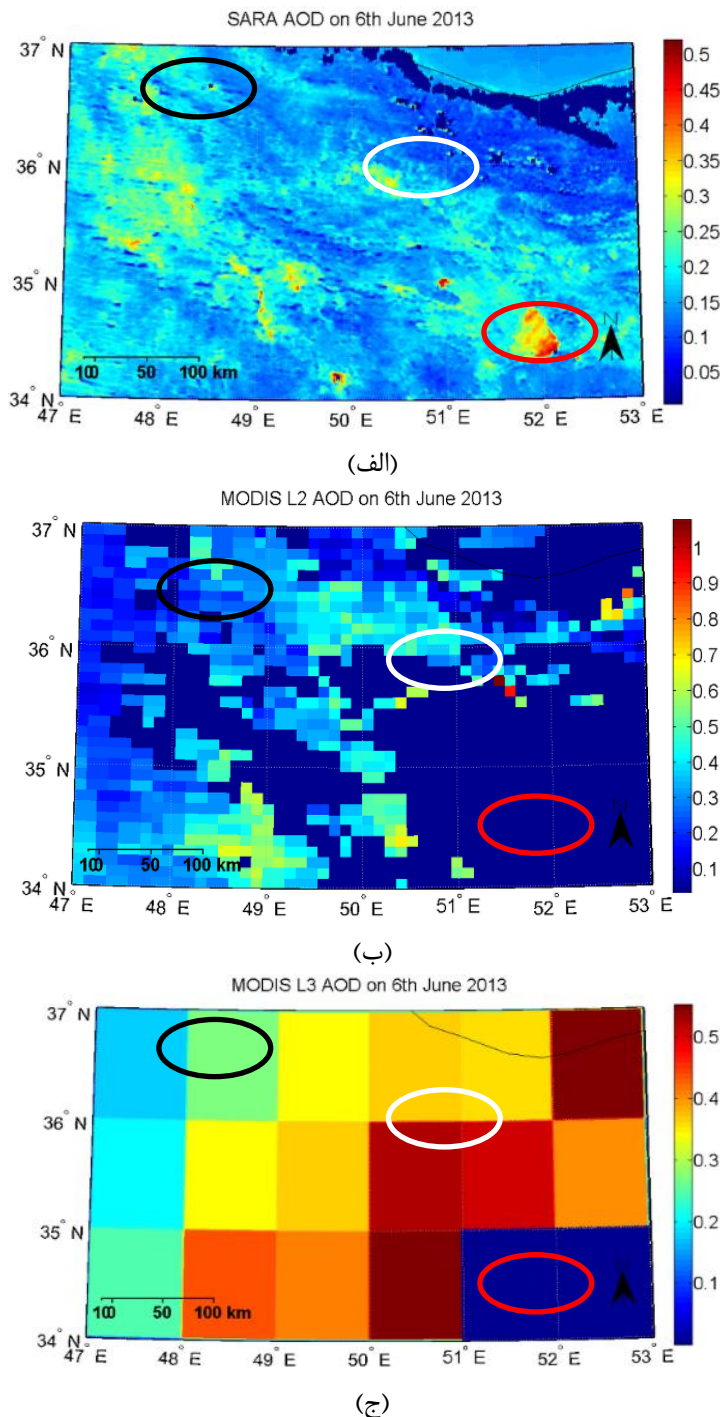


(ج)

شکل ۳: مقایسه (الف) SARA AOD (Dash) MODIS L2 AOD (Square Dot) (ب) MODIS L3 AOD (Dot) با داده های عمق اپتیکی هواییز به دست آمده از داده های زمینی میدان دید (Solid) برای روزهایی مورد مطالعه در سایت مهرآباد تهران. روزهای ۱۸۹، ۲۶۹، ۲۶۵، ۲۶۲، ۲۰۵ و ۲۷۱ برای MODIS L2 AOD، روزهای ۲۶۹، ۲۳۰ و ۲۷۱ برای MODIS L3 AOD و روزهای ۱۸۲، ۲۳۰ و ۲۷۱ برای داده های زمینی میدان دید، روزهای بدون مقدار هستند.

مقایسه با مناطق اطراف نشان می دهد (شکل ۴-الف). بارگذاری بالای هواییز در این منطقه می تواند ناشی از هواییزهای نمکی بوجود آمده از بخش خشک شده این دریاچه و همچنین گرد و خاک های کویر باشد. محصولات عمق اپتیکی مادیس بدلیل پیکسل های از دست رفته در این منطقه ناشی از محدودیت های الگوریتم DT، قادر به نمایش این پدیده نیستند، در حالیکه SARA AOD بخوبی این تغییرات را در بخش های مختلف دریاچه نمایش می دهد.

شکل (۴-الف، ب و ج) نمونه ای از نمایش مکانی داده های عمق اپتیکی هواییز در تاریخ ششم ژوئن ۲۰۱۳ در شمال و شمالغرب ایران (که دربرگیرنده سایت چیتگر تهران و IASBS زنجان و مناطق مجاور می باشد) را نشان می دهد. تغییرات مکانی بخوبی در SARA AOD به تصویر کشیده شده است در حالیکه MODIS L2 AOD گپ های فراوان و MODIS L3 AOD علاوه بر وجود گپ، قدرت تفکیک مکانی پایینی دارد و قادر به نمایش این تغییرات مکانی بصورت مناسبی نیستند. SARA AOD بر فراز دریاچه نمک، بارگذاری نسبتاً بالایی از هواییز را (حدود ۰/۵) در



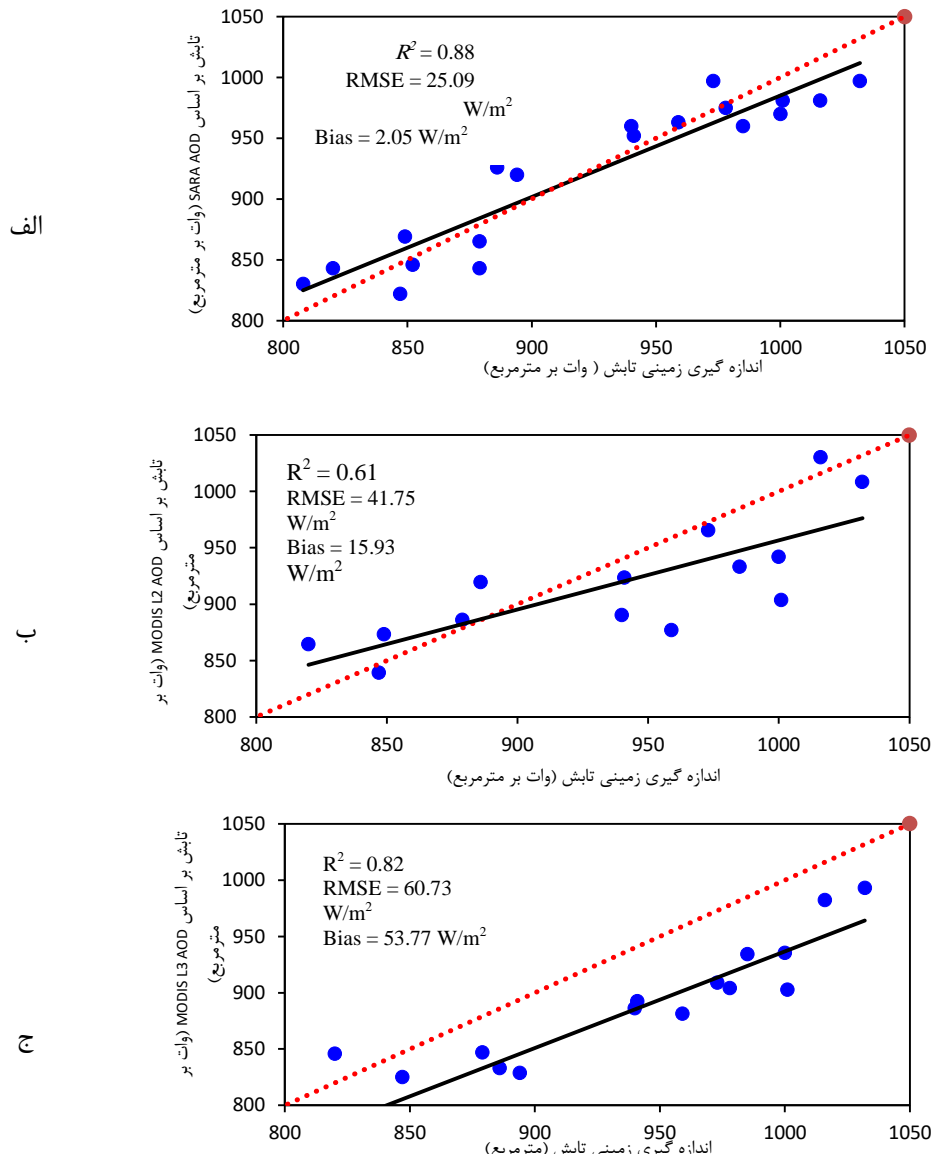
شکل ۴: الگوهای فضایی (الف) SARA AOD (ب) MODIS L2 AOD و (ج) MODIS L3 AOD بر فراز سایت IASBS واقع در شهر زنجان (بیضی سیاه)، سایت چیتگر مستقر در شهر تهران (بیضی سفید) و دریاچه نمک (بیضی قرمز) در تاریخ ۶ ژوئن ۲۰۱۳. مناطق به رنگ بنفش در SARA AOD نشان‌دهنده عدم وجود اطلاعات ناشی از پوشش ابر، و در محصولات عمق اپتیکی مادیس، بیانگر عدم وجود اطلاعات ناشی از پیکسل‌های از دست رفته در الگوریتم DT می‌باشد.

خطای بوجود آمده از محصول سطح دو مادیس می تواند بعلت الگوریتم DT باشد که در مناطق با سطوح روشن مقدار AOD را دست بالا برآورد می نماید. بین تابش و AOD ارتباط معکوسی وجود دارد، بنابراین دست پایین برآورده شدن تابش مخصوصاً در شرایط بارگذاری بالای هوایی می تواند ناشی از بکارگیری محصول سطح دو مادیس باشد. خطای بوجود آمده از محصول سطح سه مادیس نیز که منجر به دست پایین برآورده شدن قابل ملاحظه تابش در همه شرایط هوایی شده است می تواند به دو علت باشد، (۱) قدرت تفکیک مکانی پایین (۱ درجه) محصول سطح سه مادیس و (۲) الگوریتم بازیابی عمق اپتیکی هوایی DT.

شکل (۶-الف-ج) نمونه‌های از نمایش مکانی تابش موج کوتاه براساس MODIS L2 AOD، SARA AOD و MODIS L3 AOD در زنجان، تهران و مناطق اطراف، در تاریخ ۶ ژوئن ۲۰۱۳ نشان می دهد. نقشه تابش موج کوتاه در شکل (۶-الف) به خوبی تغییرات مکانی را به تصویر می کشد، زیرا این تابش بر اساس SARA AOD و با قدرت تفکیک مکانی یک کیلومتر، به دست آمده است. نقشه تابش براساس محصول سطح دو و سطح سه مادیس، توانایی نمایش تغییرات مکانی را بصورت مناسبی ندارند، زیرا محصول سطح دو مادیس گپ های زیاد داشته و محصول سطح سه، قدرت تفکیک مکانی پایین دارد. تابش به دست آمده براساس SARA AOD نه تنها با مشاهدات زمینی در توافق خوبی است، نمایش بهتری نیز از تغییرات مکانی را نشان می دهد.

۲-۳- اعتبارسنجی تابش‌های برآورده شده در سایت چیتگر

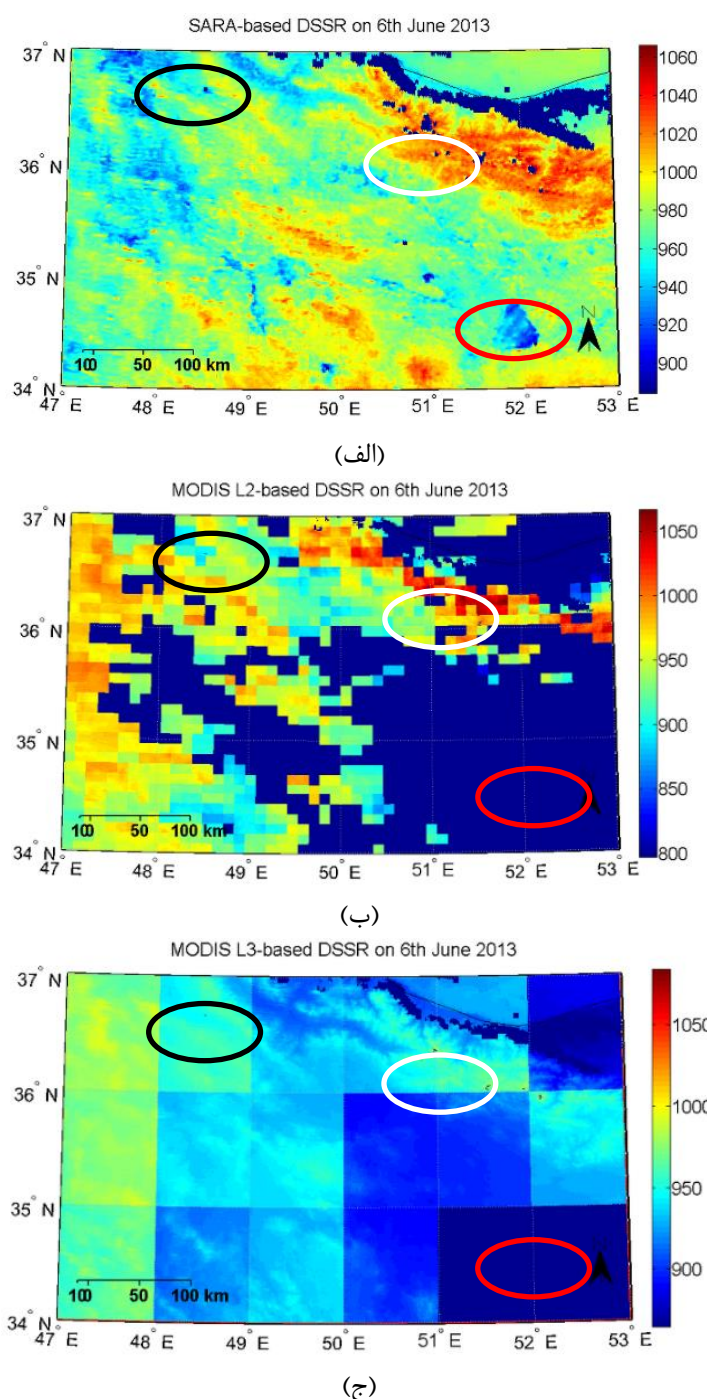
شکل (۵-الف-ب و ج) و جدول (۷)، اعتبارسنجی تابش برآورده شده براساس SARA AOD، تابش براساس MODIS L3 و تابش براساس MODIS L2 AOD، با اندازه گیریهای پیرانومتر واقع در سایت چیتگر در روزهای مورد مطالعه را نشان می دهد. نتایج آماری اعتبارسنجی تابش برآورده شده براساس SARA AOD ضریب رگرسیون ($R^2 = 0.88$)، خطای RMSE و بایاس بترتیب بترتیب ۰.۹۰۵ وات بر مترمربع و ۰.۵۰۵ وات بر مترمربع است (شکل (۵-الف)). مقایسه بین تابش اندازه گیری شده زمینی و تابش برآورده شده بر اساس MODIS L2 AOD نیز در شکل (۵-ب) نشان داده شده است، نتایج آماری این مقایسه ضریب رگرسیون ۰.۶۱، خطای RMSE و بایاس بترتیب ۰.۹۳ و ۰.۵۷ وات بر مترمربع به دست آمد. مقایسه بین تابش اندازه گیری شده زمینی و تابش برآورده شده بر اساس MODIS L3 AOD نیز در شکل (۵-ج) با ضریب رگرسیون ۰.۸۲، خطای RMSE و بایاس بترتیب ۰.۷۳ و ۰.۷۷ وات بر مترمربع نشان داده شده است. تابش برآورده شده بر اساس SARA AOD و MODIS L3 AOD مقادیر ضریب همبستگی بالای را نشان دادند، اما مقدار خطای RMSE و بایاس تابش برآورده شده بر اساس MODIS L3 AOD مقادیر پایین تری را نشان می دهد. ضریب رگرسیون تابش به دست آمده براساس MODIS L2 AOD مقادیر پایینی را نشان می دهد، خطای RMSE و بایاس نیز در تابش برآورده شده بر اساس محصول سطح دو مادیس کمتر از محصول سطح سه مادیس و بیشتر از خطای به دست آمده در تابش براساس SARA AOD می باشد.



شکل ۵: اعتبارسنجی تابش‌های برآورد شده براساس داده‌های مختلف عمق اپتیکی هواویز (الف) MODIS L3 AOD (ج) MODIS L2 AOD (ب) در سایت چیتگر تهران سال ۲۰۱۳.

جدول ۷: اطلاعات آماری ارزیابی تابش‌های تخمین شده براساس داده‌های مختلف عمق اپتیکی با تابش‌های اندازه‌گیری شده توسط پیرانومتر در سایت چیتگر سال ۲۰۱۳.

با اساس (وات بر مترمربع)	RMSE (وات بر مترمربع)	R ²	تابش موچوتاه بر اساس
۲/۰۵	۲۵/۰۹	۰/۸۸	SARA AOD
۱۵/۹۳	۴۱/۷۵	۰/۶۱	MODIS L2 AOD
۵۳/۷۷	۶۰/۷۳	۰/۸۲	MODIS L3 AOD



شکل ۶: الگوهای فضایی تابش موج کوتاه براساس (الف) SARA AOD و (ب) MODIS L2 AOD و (ج) MODIS L3 AOD بر فراز سایت IASBS واقع در شهر زنجان (بیضی سیاه)، سایت چیتگر مستقر در شهر تهران (بیضی سفید) و دریاچه نمک (بیضی قرمز) در تاریخ ۶ ژوئن ۲۰۱۳. مناطق به رنگ بنفش در نقشه تابش براساس SARA AOD نشان دهنده عدم وجود اطلاعات ناشی از پوشش ابر و در نقشه تابش براساس مخصوصات عمق اپتیکی مادیس بیانگر عدم وجود اطلاعات ناشی از پیکسل های از دست رفته در الگوریتم DT می باشد.

برای محاسبه AOD عنوان کرد. البته ضریب رگرسیون به دست آمده از این روش در مقایسه با تحقیقات قبلی مقدار کمتری را نشان می‌دهد، علت آن می‌تواند ثابت فرض کردن مقادیر آلبدوی پراکنش منفرد و فاکتور تقارن در منطقه مورد مطالعه (زنجان تا تهران) دانست.

۳-۳-آنالیز حساسیت

با استفاده از نظریه انتشار عدم قطعیت (خطا) و به کمک مدل یانگ آنالیز حساسیت بصورت زیر انجام شد.

$$\Delta I = \left| \frac{\partial I}{\partial \tau} \right| \Delta \tau \quad (22)$$

که I تابش موج کوتاه فرویدی، $\Delta \tau$ عدم قطعیت AOD و ΔI عدم قطعیت تابش موج کوتاه تنها ناشی از $\Delta \tau$

با فرض اینکه میانگین AOD های به دست آمده بر اساس داده های میدان دید، 0.23 ± 0.02 باشد (رجوع شود به بخش ۱-۳) و همچنین با فرض اینکه ماکریزم عدم قطعیت مجاز در تابش موج کوتاه (فقط ناشی از عدم قطعیت AOD) 5 ± 0.05 درصد باشد [۴۹]، ماکریزم عدم قطعیت قابل قبول در AOD با استی ۱۷ درصد باشد (یعنی مقدار 0.039 ± 0.003 در واحد AOD). عدم قطعیت به دست آمده در این تحقیق برای SARA AOD در درصد (یعنی 0.032 ± 0.003) است، در حالیکه این مقدار برای محصول سطح ۲ و ۳ مادیس بترتیب 47 ± 4 و 74 ± 4 درصد (یعنی 0.108 ± 0.010 و 0.170 ± 0.017) به دست آمد (جدول ۹). عدم قطعیت محصولات مادیس به میزان قابل توجهی بزرگتر از ماکریزم عدم قطعیت قابل قبول در AOD می باشد و عدم قطعیت SARA AOD کمتر از ماکریزم عدم قطعیت قابل قبول در AOD است. بنابراین این نتایج نیز دقت بالای SARA AOD برای محاسبه تابش موج کوتاه را در مقایسه با محصولات سطح ۲ و ۳ مادیس نشان می‌دهد. لازم بذکر است که AOD به دست آمده از داده های میدان دید، شاید معیار مناسبی برای اعتبارسنجی AOD های بکار رفته در این تحقیق نباشد و بهتر است از داده های دقیق تر آثرونست

نتایج آماری تابش برآورد شده براساس AOD SARA با تحقیقات مشابه قبلی نیز مورد مقایسه قرار گرفت (جدول ۸). هوبورگ و سوگارد [۲۸] تابش موج کوتاه را براساس محصول سطح دو مادیس و با استفاده از مدل اقبال در یک منطقه کشاورزی در دانمارک برآورد نمودند. ضریب رگرسیون و خطای RMSE بترتیب 0.95 ± 0.05 و 50 ± 5 وات بر مترمربع به دست آمد. مقدار خطای بالای بایاس در این تحقیق می‌تواند به دلیل بکارگیری محصول سطح دو عمق اپتیکی هواییز مادیس باشد. ریو و همکاران [۲۲] تابش موج کوتاه را براساس محصول سطح دو مادیس و با استفاده از مدل بیرد برآورد نموده و در دو سایت مختلف در کشور کره جنوبی ارزیابی نمودند. برای سایت اول، ضریب رگرسیون، خطای RMSE و بایاس به ترتیب، 98 ± 9.8 ، 41 ± 4 وات بر مترمربع و 24 ± 2.4 وات بر مترمربع و برای سایت دوم 98 ± 9.8 وات بر مترمربع و 13 ± 1.3 وات بر مترمربع به دست آمد. بیشتر و همکاران [۱۴] نیز با استفاده از مدل زیلمان و محصول پروفایل جوی مادیس (دما و نقطه شبنم)، تابش موج کوتاه را برای یک سطح نسبتاً هموار با پوشش ناهمگون در منطقه SGP آمریکا برآورد نمودند. ارزیابی تابش به دست آمده با استفاده از مشاهدات زمینی، ضریب رگرسیون 97 ± 9.7 ، خطای RMSE 51 ± 5.1 وات بر مترمربع و بایاس 41 ± 4.1 وات بر مترمربع را نشان داد. مدل زیلمان برای عمق اپتیکی هواییز مقدار ثابتی در نظر می‌گیرد، به همین دلیل خطای RMSE و بایاس مقدار بزرگی دارند. در مقایسه با تابش های برآورد شده در تحقیقات قبلی، روش به کار رفته در تحقیق پیش روی نتایج تابش برآورد تابش براساس AOD SARA AOD را یعنی 51 ± 5.1 وات بر مترمربع و بایاس کمتری را نشان می‌دهد. دقت بالای این روش می‌تواند به علت به کارگیری مستقیم داده های بازتابندگی سطح و بالای جو مادیس

^۱ Southern Great Plains

بدین منظور استفاده گردد. تنها داده موجود در منطقه مورد مطالعه، داده های میدان دید بودند.

جدول ۸: اطلاعات آماری تابش برآورد بر اساس روش پیشنهادی، در مقایسه با تحقیقات قبلی مشابه

روش بکار رفته در	R^2	(وات بر مترمربع)	باپاس (وات بر مترمربع)
تحقيق پيش رو	.88/0	25.09	21.05
ريو و همكاران	.98-0.98	41-24	32-13
بيشت و همكاران	.97/0	51	41
هوبورگ و سوگارد	.95/0	48	-

جدول ۹: آنالیز حساسیت محاسبه تابش موج کوتاه بر اساس داده های مختلف AOD

AOD	میانگین	عدم قطعیت در واحد AOD	عدم قطعیت (%)
SARA AOD	.18/0	.32/0.0	14
MODIS L2 AOD	.28/0	.10/0.0	47
MODIS L3 AOD	.41/0	.17/0.0	74

متربع و برآورد تابش براساس محصول سطح سه مادیس، بترتیب برابر است با: ۵۳/۷۷ و ۶۰/۷۳ وات بر متربع، راشان داد. خطای RMSE تابش برآورد شده در روش پیشنهادی، حدوداً ۴۰٪ تابش برآورد شده براساس محصول سطح دو و ۴٪ تابش برآورد شده براساس محصول سطح سه مادیس است. خطای باپاس نیز در روش پیشنهادی به صفر نزدیک شده است، درحالی که در روش های براساس محصولات مادیس، این خطای مقدار بالایی دارد.

علاوه بر این، شکل (۶-الف) نیز مزیت استفاده از SARA AOD نسبت به محصولات عمق اپتیکی هواویز مادیس را به خوبی نمایش می دهد. به طوریکه به علت قدرت تفکیک مکانی بالای SARA AOD، تابش برآورد شده بر اساس آن، بخوبی تغییرات مکانی را نمایش می دهد، در حالیکه این تغییرات مکانی در تابش های برآورد شده براساس محصولات عمق اپتیکی هواویز به صورت مناسبی دیده نمی شود. چنانچه در شکل (۶-ب) دیده شد، تابش برآورد شده براساس

۴- بحث و نتیجه گیری

در این تحقیق پس از ارائه روش پیشنهادی برآورد تابش براساس SARA AOD، تابش موج کوتاه در ایستگاه چیتگر تهران برای روزهای بدون ابر به دست آمد. به منظور مقایسه، تابش موج کوتاه با استفاده از محصولات عمق اپتیکی هواویز مادیس، نیز برآورد گردید. نتایج به دست آمده با اندازه گیری های زمینی اعتبارسنجی شدند. نتایج ارائه شده در شکل (۵) و جدول (۷) نشان داد، روش پیشنهادی برآورد تابش براساس SARA AOD با اطلاعات آماری، خطای RMSE و باپاس بترتیب برابر است با: ۲۵.۰۹ و ۲۱.۰۵ وات بر متربع، تابش موج کوتاه در ایستگاه چیتگر را برآورد نمود. این روش در مقایسه با روش های برآورد تابش براساس محصولات عمق اپتیکی مادیس مانند MODIS L3 AOD و MODIS L2 AOD نتایج بهتری به همراه داشت. به طوریکه نتایج آماری برآورد تابش براساس محصول سطح دو مادیس، خطای RMSE و باپاس بترتیب برابر است با: ۴۱.۷۵ و ۱۵.۹۳ وات بر

توزیع مکانی مناسبی از شبکه آئرونوت در کشور است. با فرض در دسترس بودن چنین شبکه‌ای در آینده، روش پیشنهادی ترکیب مدل تابشی یانگ و الگوریتم بازیابی هواویز SARA می‌تواند برآورد دقیقی از تابش موج کوتاه با قدرت تفکیک مکانی بالا، در مقیاس منطقه‌ای تا جهانی، داشته باشد.

در این تحقیق هدف از ارائه روش ترکیبی، تخمین دقیق تابش موج کوتاه با قدرت تفکیک مکانی بالا (1 کیلومتر) با استفاده از داده‌های مادیس، در مقیاس منطقه‌ای بود. که نتایج نشان از موفقیت بالای این روش داشت. همچنین نقشه تابش به دست آمده با استفاده از این روش برای شمال و شمال‌غرب کشور نشان داد که این روش، تغییرات مکانی تابش را در منطقه به خوبی نمایش می‌دهد. این روش با روش‌های مرسوم در مطالعات پیشین نیز مورد مقایسه قرار گرفت که نتایج نشان‌دهنده دقت بالای آن بود. با فرض دسترسی به شبکه‌ای منظم از ایستگاه‌های آئرونوت در منطقه، روش پیشنهادی قادر خواهد بود تابش موج کوتاه را با قدرت تفکیک مکانی 1 کیلومتر برای کاربردهای مختلف از قبیل مدل‌های سطح و جوی در مقیاس منطقه‌ای تا جهانی برآورد نماید.

محصول سطح دو مادیس قدرت تفکیک مناسبی دارد ولی بدليل محدودیت الگوریتم DT در نواحی با سطوح روشن و همچنین در مناطق با بارگذاری بالای هواویز گپ‌های فراوانی در آن مشاهده می‌شود، تابش برآورد شده براساس محصول سطح سه مادیس (شکل (۶-ج))، گپ کمتری دارد ولی از قدرت تفکیک مناسبی برای نمایش تغییرات تابش در منطقه، برخوردار نیست.

مقایسه روش پیشنهادی برآورد تابش براساس SARA، AOD، با مطالعات مشابه انجام شده در سالهای گذشته، نشان داد که این روش از دقت بمراتب بالاتری برخوردار بوده، یعنی خطای RMSE و بایاس مقدار پایین‌تری دارند، اگرچه ضریب رگرسیون در روش پیشنهادی، در مقایسه با مطالعات پیشین مقدار کمتری نشان داد. پایین بودن ضریب رگرسیون می‌تواند بعلت ثابت فرض کردن مقادیر آبدوی پراکنش منفرد و فاکتور تقارن در منطقه باشد. این دو پارامتر از طریق ایستگاه آئرونوت IASBS مستقر در زنجان به دست می‌آید و در ایستگاه چیتگر نیز مورد استفاده قرار می‌گیرد. لذا برای محاسبه تابش با روش پیشنهادی در مقیاس منطقه‌ای و جهانی، نیاز به

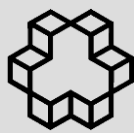
مراجع

- [1] M. Castelli, R. Stöckli, D. Zardi, A. Tetzlaff, J. E. Wagner, G. Belluardo, et al., "The HelioMont method for assessing solar irradiance over complex terrain: Validation and improvements," *Remote Sensing of Environment*, vol. 152, pp. 603-613, 2014.
- [2] Y. Ryu, S. Kang, S.-K. Moon, and J. Kim, "Evaluation of land surface radiation balance derived from moderate resolution imaging spectroradiometer (MODIS) over complex terrain and heterogeneous landscape on clear sky days," *Agricultural and Forest Meteorology*, vol. 148, pp. 1538-1552, 2008.
- [3] S. Liang, *Advanced Remote Sensing*. Boston: Academic Press, 2012.
- [4] L. Chen, G. Yan, T. Wang, H. Ren, J. Calbó, J. Zhao, et al., "Estimation of surface shortwave radiation components under all sky conditions: Modeling and sensitivity analysis," *Remote Sensing of Environment*, vol. 123, pp. 457-469, 2012.
- [5] C. A. Gueymard, "Temporal variability in direct and global irradiance at various time scales as affected by aerosols," *Solar Resources*, vol. 86, pp. 3544-3553, 2012.
- [6] S. Liang, *Quantitative Remote Sensing of Land Surfaces*. Hoboken, NJ: John Wiley & Sons, Inc., 2004.
- [7] R. T. Pinker and I. Laszlo, "Modeling Surface Solar Irradiance for Satellite Applications on a Global Scale," *Journal of Applied Meteorology*, vol. 31, pp. 194-211, 1992.

- [8] Z. Li, H. G. Leighton, K. Masuda, and T. Takashima, "Estimation of SW Flux Absorbed at the Surface from TOA Reflected Flux," *Journal of Climate*, vol. 6, pp. 317-330, 1993.
- [9] G. L. Stephens, A. Slingo, M. J. Webb, P. J. Minnett, P. H. Daum, L. Kleinman, et al., "Observations of the Earth's Radiation Budget in relation to atmospheric hydrology: 4. Atmospheric column radiative cooling over the world's oceans," *Journal of Geophysical Research: Atmospheres*, vol. 99, pp. 18585-18604, 1994.
- [10] Y. C. Zhang, W. B. Rossow, and A. A. Lacis, "Calculation of surface and top of atmosphere radiative fluxes from physical quantities based on ISCCP data sets: 1. Method and sensitivity to input data uncertainties," *Journal of Geophysical Research: Atmospheres*, vol. 100, pp. 1149-1165, 1995.
- [11] S. K. Gupta, N. A. Ritchey, A. C. Wilber, C. H. Whitlock, G. G. Gibson, and P. W. Stackhouse, "A Climatology of Surface Radiation Budget Derived from Satellite Data," *Journal of Climate*, vol. 12, pp. 2691-2710, 1999.
- [12] R. W. Mueller, K. F. Dagestad, P. Ineichen, M. Schroedter-Homscheidt, S. Cros, D. Dumortier, et al., "Rethinking satellite-based solar irradiance modelling: The SOLIS clear-sky module," *Remote Sensing of Environment*, vol. 91, pp. 160-174, 2004.
- [13] C. Rigollier, M. Lefèvre, and L. Wald, "The method Heliosat-2 for deriving shortwave solar radiation from satellite images," *Solar Energy*, vol. 77, pp. 159-169, 2004.
- [14] . Bisht, V. Venturini, S. Islam, and L. Jiang, "Estimation of the net radiation using MODIS (Moderate Resolution Imaging Spectroradiometer) data for clear sky days," *Remote Sensing of Environment*, vol. 97, pp. 52-67, 2005.
- [15] H.-Y. Kim and S. Liang, "Development of a hybrid method for estimating land surface shortwave net radiation from MODIS data," *Remote Sensing of Environment*, vol. 114, pp. 2393-2402, 2010.
- [16] MODIS (2016, Web Page). Modis – Moderate Resolution Imaging Spectroradiometer. Available: <http://modis.gsfc.nasa.gov/>
- [17] G. Huang, S. Liu, and S. Liang, "Estimation of net surface shortwave radiation from MODIS data," *International Journal of Remote Sensing*, vol. 33, pp. 804-825, 2012.
- [18] M. Suri, J. Remund, T. Cebecauer, C. Hoyer-Click, D. Dumortier, T. Huld, et al., "Comparison of Direct Normal Irradiation Maps for Europe," in *Solar Paces*, ed. Berlin, Germany: In: Proc. SolarPACES Conf, 2009.
- [19] C. A. Gueymard, "Uncertainties in Modeled Direct Irradiance Around the Sahara as Affected by Aerosols: Are Current Datasets of Bankable Quality?," *Journal of Solar Energy Engineering*, vol. 133, pp. 031024-031024, 2011.
- [20] R. C. Levy, L. A. Remer, S. Mattoe, E. F. Vermote, and Y. J. Kaufman, "Second-generation operational algorithm: Retrieval of aerosol properties over land from inversion of Moderate Resolution Imaging Spectroradiometer spectral reflectance," *Journal of Geophysical Research: Atmospheres*, vol. 112, p. D13211, 2007.
- [21] N. C. Hsu, T. Si-Chee, M. D. King, and J. R. Herman, "Aerosol properties over bright-reflecting source regions," *Geoscience and Remote Sensing, IEEE Transactions on*, vol. 42, pp. 557-569, 2004.
- [22] R. C. Levy, L. A. Remer, R. G. Kleidman, S. Mattoe, C. Ichoku, R. Kahn, et al., "Global evaluation of the Collection 5 MODIS dark-target aerosol products over land," *Atmospheric Chemistry and Physics*, vol. 10, pp. 10399-10420, 2010.
- [23] M. Bilal, J. E. Nichol, M. P. Bleiweiss, and D. Dubois, "A Simplified high resolution

- MODIS Aerosol Retrieval Algorithm (SARA) for use over mixed surfaces," *Remote Sensing of Environment*, vol. 136, pp. 135-145, 2013.
- [24] M. Bilal, J. E. Nichol, and P. W. Chan, "Validation and accuracy assessment of a Simplified Aerosol Retrieval Algorithm (SARA) over Beijing under low and high aerosol loadings and dust storms," *Remote Sensing of Environment*, vol. 153, pp. 50-60, 2014.
- [25] P. Hubanks, M. King, S. Platnick, and R. Pincus, "MODIS atmosphere L3 gridded product algorithm theoretical basis document Collection 005 Version 1.1," 2008.
- [26] L. Chengcai, A. K. H. Lau, M. Jietai, and D. A. Chu, "Retrieval, validation, and application of the 1-km aerosol optical depth from MODIS measurements over Hong Kong," *IEEE Transactions on Geoscience and Remote Sensing*, vol. 43, pp. 2650-2658, 2005.
- [27] M. S. Wong, J. E. Nichol, and K. H. Lee, "An operational MODIS aerosol retrieval algorithm at high spatial resolution, and its application over a complex urban region," *Atmospheric Research*, vol. 99, pp. 579-589, 2011.
- [28] R. M. Houborg and H. Soegaard, "Regional simulation of ecosystem CO₂ and water vapor exchange for agricultural land using NOAA AVHRR and Terra MODIS satellite data. Application to Zealand, Denmark," *Remote Sensing of Environment*, vol. 93, pp. 150-167, 2004.
- [29] R. E. Bird and R. L. Hulstrom, "Review, Evaluation, and Improvement of Direct Irradiance Models," *Journal of Solar Energy Engineering*, vol. 103, pp. 182-192, 1981.
- [30] M. Iqbal, "Total (Broadband) Radiation under Cloudless Skies," in *An Introduction to Solar Radiation*, M. Iqbal, Ed., ed Toronto: Academic Press, 1983, pp. 169-213.
- [31] K. Yang, G. W. Huang, and N. Tamai, "A hybrid model for estimating global solar radiation," *Solar Energy*, vol. 70, pp. 13-22, 2001.
- [32] B. Leckner, "The spectral distribution of solar radiation at the earth's surface—elements of a model," *Solar Energy*, vol. 20, pp. 143-150, 1978.
- [33] C. A. Gueymard, "Direct solar transmittance and irradiance predictions with broadband models. Part I: detailed theoretical performance assessment," *Solar Energy*, vol. 74, pp. 355-379, 2003.
- [34] C. A. Gueymard, "Direct solar transmittance and irradiance predictions with broadband models. Part II: validation with high-quality measurements," *Solar Energy*, vol. 74, pp. 381-395, 2003.
- [35] M. Paulescu and Z. Schlett, "Performance assessment of global solar irradiation models under Romanian climate," *Renewable Energy*, vol. 29, pp. 767-777, 2004.
- [36] M. Paulescu and Z. Schlett, "A simplified but accurate spectral solar irradiance model," *Theoretical and Applied Climatology*, vol. 75, pp. 203-212, 2003.
- [37] M. A. Madkour, M. El-Metwally, and A. B. Hamed, "Comparative study on different models for estimation of direct normal irradiance (DNI) over Egypt atmosphere," *Renewable Energy*, vol. 31, pp. 361-382, 2006.
- [38] IRIMO (2016, Web Page). I. R. of Iran Meteorological Office. Available: <http://www.irimo.ir/>
- [39] B. N. Holben, T. F. Eck, I. Slutsker, D. Tanré, J. P. Buis, A. Setzer, et al., "AERONET—A Federated Instrument Network and Data Archive for Aerosol Characterization," *Remote Sensing of Environment*, vol. 66, pp. 1-16, 1998.
- [40] B. N. Holben, D. Tanré, A. Smirnov, T. F. Eck, I. Slutsker, N. Abuhaman, et al., "An emerging ground-based aerosol climatology: Aerosol optical depth from

- AERONET," Journal of Geophysical Research: Atmospheres, vol. 106, pp. 12067-12097, 2001.
- [41] E. F. Vermote, S. Vibert, H. Kilcoyne, D. Hoyt, and T. Zhao, "Suspended Matter. Visible/Infrared Imager/Radiometer Suite algorithm theroretical basis document. SBRS Document# Y2390, Raytheon Systems Company," Information Technology and Scientific Services, Maryland, 2002.
- [42] NASA (2016, Web Page). Modis Level 1, Atmosphere and Land data products. Available: <http://ladsweb.nascom.nasa.gov>.
- [43] O. Lado-Bordowsky and I. Naour, "Optical paths involved in determining the scattering angle for the scattering algorithm developed in LOWTRAN7," International Journal of Infrared and Millimeter Waves, vol. 18, pp. 1689-1696, 1997.
- [44] H. Rahman, B. Pinty, and M. M. Verstraete, "Coupled surface-atmosphere reflectance (CSAR) model: 2. Semiempirical surface model usable with NOAA advanced very high resolution radiometer data," Journal of Geophysical Research: Atmospheres, vol. 98, pp. 20791-20801, 1993.
- [45] R. C. Levy, L. A. Remer, and O. Dubovik, "Global aerosol optical properties and application to Moderate Resolution Imaging Spectroradiometer aerosol retrieval over land," Journal of Geophysical Research: Atmospheres, vol. 112, p. D13210, 2007.
- [46] D. Tanre, M. Herman, P. Y. Deschamps, and A. d. Leffe, "Atmospheric modeling for space measurements of ground reflectances, including bidirectional properties," Appl.Opt., vol. 18, pp. 3587-3594, 1979.
- [47] C. Kelley, Iterative Methods for Linear and Nonlinear Equations: Society for Industrial and Applied Mathematics, 1995.
- [48] C. Ichoku, R. Levy, Y. J. Kaufman, L. A. Remer, R.-R. Li, V. J. Martins, et al., "Analysis of the performance characteristics of the five-channel Microtops II Sun photometer for measuring aerosol optical thickness and precipitable water vapor," Journal of Geophysical Research: Atmospheres, vol. 107, pp. AAC 5-1-AAC 5-17, 2002.
- [49] J. A. Ruiz-Arias, J. Dudhia, C. A. Gueymard, and D. Pozo-Vazquez, "Assessment of the Level-3 MODIS daily aerosol optical depth in the context of surface solar radiation and numerical weather modeling," Atmospheric Chemistry and Physics, vol. 13, pp. 675-692, 2013.



Development and evaluation of Downward Surface Shortwave Radiation based on SARA AOD using MODIS data under cloud-free conditions

Javadnia, E. *¹, Abkar, A.²

1- PhD student of remote sensing in Department of Photogrammetry and Remote Sensing, Faculty of Geodesy & Geomatics Engineering, K. N. Toosi University of Technology

2- Assistant professor in Department of Photogrammetry and Remote Sensing, Faculty of Geodesy & Geomatics Engineering, K. N. Toosi University of Technology

Abstract

The atmospheric Aerosol Optical Depth (AOD) is one of the major uncertainties in retrieving Downward Surface Shortwave Radiation (DSSR). In the current study, Yang's model, which determines the effect of each component of atmosphere separately, was used to estimate DSSR under cloud-free conditions. Recent studies have used MODIS AOD data to calculate DSSR, while in this article the retrieved AOD from the Simplified Aerosol Retrieval Algorithm (SARA) was used to estimate DSSR over the Chitgar site in Tehran, Iran. For comparison purpose, MODIS AOD products were also used to estimate DSSR over the studied region. Estimated DSSR based on SARA AOD, MODIS Level 2 (L2) AOD, and MODIS Level 3 (L3) AOD were evaluated with ground-based measurements of DSSR at the Chitgar site during summer of 2013. Results show $R^2 = 0.88$, $RMSE = 25.09 \text{ W/m}^2$, and $Bias = 2.05 \text{ W/m}^2$ for SARA-based DSSR, and $R^2 = 0.61$, $RMSE = 41.75 \text{ W/m}^2$, and $Bias = 15.93 \text{ W/m}^2$ for MODIS-L2 based DSSR, and $R^2 = 0.82$, $RMSE = 60.73 \text{ W/m}^2$, and $Bias = 53.77 \text{ W/m}^2$ for MODIS L3-based DSSR. The results showed higher accuracy of estimated DSSR based on the SARA AOD than the estimated DSSR based on MODIS products. As RMSE of SARA-based DSSR is 1.6 and 2 times MODIS-L2 based DSSR and MODIS-L3 based DSSR, respectively. In the proposed method, Bias reached close to zero. These results also showed that our modeling scheme of combining Yang's model with the SARA algorithm can be used from the regional to global scale under the assumption of future access to spatially distributed AERONET sites.

Key words: Downward surface shortwave radiation, Aerosol optical depth, Moderate Resolution Imaging

Correspondence Address. : Department of Photogrammetry and Remote Sensing, Faculty of Geodesy & Geomatics Engineering, K. N. Toosi University of Technology, Tehran, Iran
Tel: +98.9125232057
Email: jjavadnia@mail.kntu.ac.ir